

FIG. 2. – Répartition temporelle des séismes du sud du 1^{er} Janvier 1994 au 19 Août 1996. L'origine de l'échelle des temps est prise au 1^{er} Janvier 1994. Les jours sont ensuite numérotés dans un ordre croissant (de 1 à 962). L'axe des ordonnées indique le nombre de séismes enregistrés au cours d'une journée. Les données d'Août 1995 et Novembre 1995 ne nous ont pas été communiquées. Ceci explique les « vides » sur la courbe au niveau des jours 600 et 700.

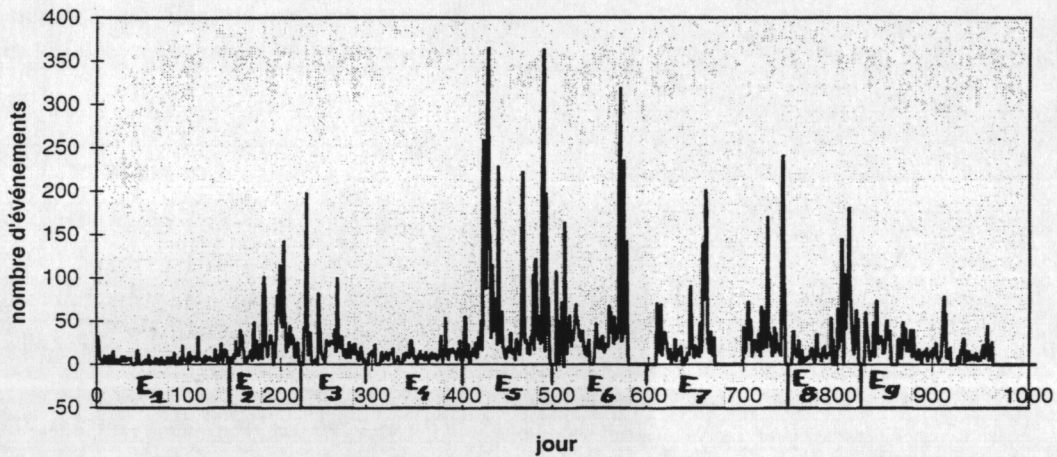


FIG. 3. – Découpage temporel de l'activité sismique sud-islandaise du 1^{er} Janvier 1994 au 19 Août 1996. L'origine de l'échelle des temps est prise au 1^{er} Janvier 1994. Les jours sont ensuite numérotés dans un ordre croissant (de 1 à 962). L'axe des ordonnées indique le nombre de séismes enregistrés au cours d'une journée. Les données d'Août 1995 et Novembre 1995 ne nous ont pas été communiquées. Ceci explique les « vides » sur la courbe de niveau des jours 600 et 700. Le découpage temporel (période E1 à E9) est basé sur l'individualisation des périodes de calme et de crise sismique.

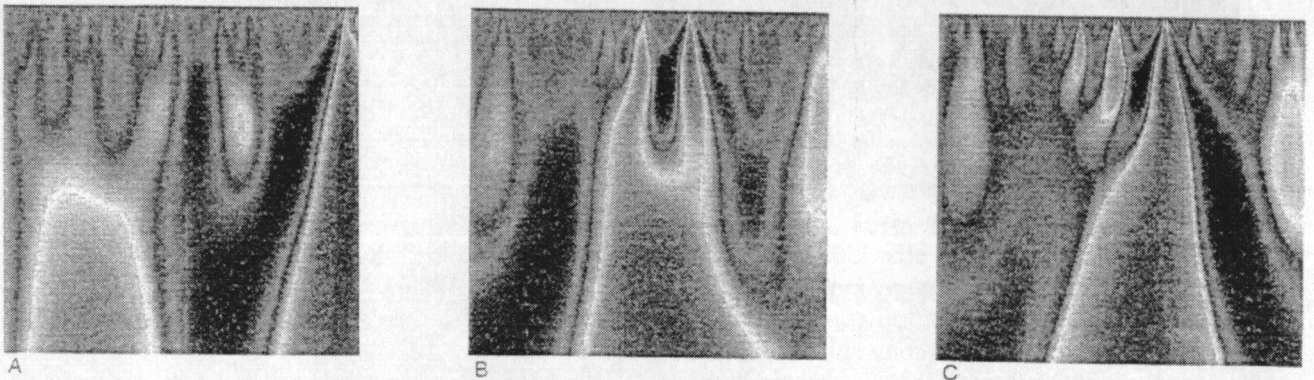


FIG. 4. – Analyse en ondelettes sur les données du nord pour 1995 et 1996 pour 3 classes de magnitude. (A : $-1 < M_I < 1$; B : $1 < M_I < 2$; C : $M_I > 2$). Abscisses : temps origine des séismes en secondes. Ordonnées : largeur de la fenêtre analysatrice en secondes.

Tuteurs : T. VILLEMEN, J.-L. GOT, LGCA, CNRS, Université de Savoie.

Laboratoire d'accueil : LGCA CNRS/UJF Grenoble.